# 基于生成对抗网络的 网络安全漏洞检测技术研究

文◆中国电子科技集团公司第三十研究所 **杨伟斌 吕树林 张红珍 叶子琛** 

# 引言

在互联网时代下,网络安全漏洞问题日益凸显,根据有关数据,截至 2024 年,全球因软件漏洞导致的经济损失超 1.2 万亿美元 <sup>111</sup>。传统的网络漏洞检测技术主要以分析测试、渗透测试等为主,存在覆盖率较小、人工依赖等短板,难以有效满足网络安全漏洞检测要求 <sup>121</sup>。为此,本文针对传统检测技术的不足,提出一种基于生成对抗网络的网络安全漏洞检测方法,通过生成对抗网络模型,挖掘报文序列中的信息,提取相关特征,并通过基于变异算子库指导的迭代变异策略,构建测试生成规则。测试结果表明,在训练时间不断增加的情况下,本文方法的 TA(不同方法接受率)始终保持在最大数值,在稳定阶段可达 90.01%,且漏洞检测率较高,该方法能够有效解决网络安全漏洞检测的实际需求。

### 1基于生成对抗网络的网络安全漏洞检测方法

#### 1.1 整体结构

本方法整体结构如图 1 所示。

(1)第一步,对网络报文数据进行收集,在完成数据预处理后,将

数据输入模型,并生成相应的测 试用例。

- (2)第二步,基于模糊测试结果,挖掘有效异常信息(包括异常响应、线下漏洞库的内容),并对其中有效用例进行识别<sup>[3]</sup>。
- (3)第三步,将测试结果反 馈到数据处理与模型训练,并通 过变异策略进行调整。

#### 1.2 数据预处理

在网络环境中,数据包主要 为序列形式,包括报文头部与数据 域。为有效提升模型的训练效果, 需对报文数据进行处理,包括数 据帧清洗、对齐、进制转换等。

(1)数据帧清洗。去除噪声

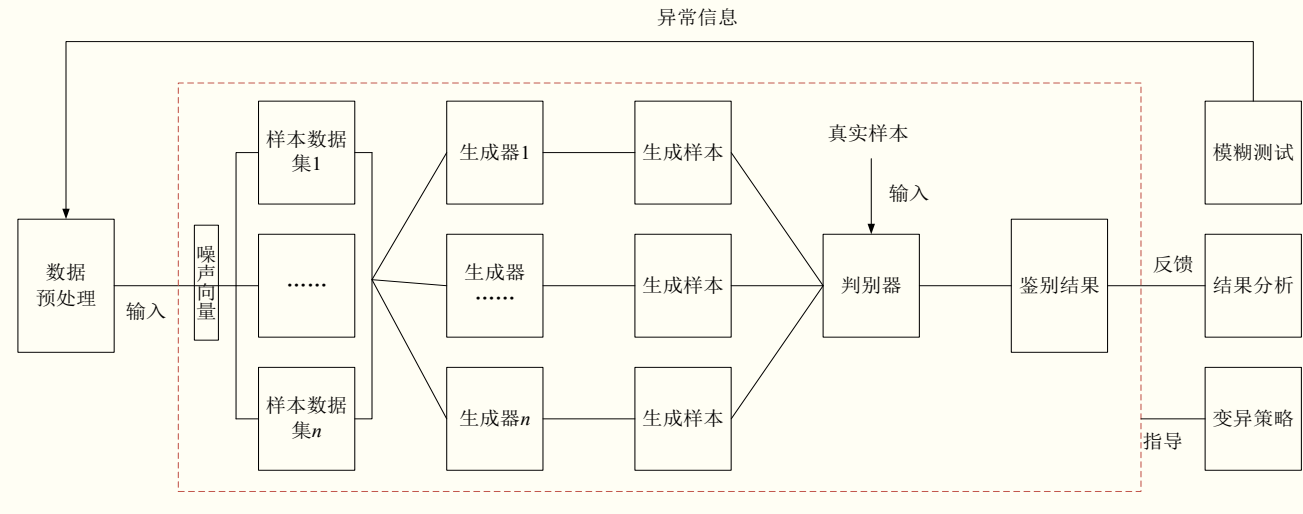


图 1 整体结构

<sup>【</sup>作者简介】杨伟斌(1991-), 男, 甘肃定西人, 本科, 工程师, 研究方向: 网络安全。

数据(如损坏的帧、重复的包)、填充缺失字段或纠正错误格式。

- (2)数据对齐。统一报文长 度(如填充或截断),确保输入 模型的序列长度一致。
- (3)进制转换。将原始二进制数据转换为模型可处理的数值形式(如十进制整数或浮点数)或直接保留为二进制流(通过嵌入层处理)。

#### 1.3 模型改进

为有效提升生成对抗网络模型的泛化能力的鲁棒性,本研究结合深度学习算法,对模型进行相应的改进,具体步骤如下。

第一步,通过在模型中添加 高斯噪声,并借助高斯混合模型 (Gaussian Mixture Model, GMM) 对低维向量进行参数化建模,进 而利用重参数化技术获得多样化 样本。

第二步,在对应的高斯分布 中提取样本,基于生成器输入相 应的数据空间结构。

第三步,借助辨别器分析 数据真实性,当结果达到纳什均 衡,则结束训练。

对于 GMM 模型而言,其主要 是在学习混合模型参数的基础上 引入多样性机制。在整个过程中, 高斯分布表示如式(1)所示。

$$f(x \mid \mu, \sigma^2) = \frac{1}{\sigma \sqrt{2\pi}} e^{\frac{(x-\mu)^2}{2\sigma^2}} (1)$$

假设z为一个混合高斯模型,则有式(2)。

$$p_z = \sum_{i=1}^{N} \frac{g(z \mid \mu_i, \sum_i)}{N}$$
 (2)

式 (1)(2) 中, $g(z|\mu_i,\sum_i)$  为 高斯分布中取到 z 的概率; $\mu_i$ 、 $\sigma_i$ 为参数,分别表示均值与方差。 根据一定的比例,对高斯分布进 行加权混合后,便可获取相应的 概率分布。 其中,z属于随机变量,具有不可微分的特点。为此,对z进行重参数化处理,则有式(3)。

$$z = \mu'_{i} + \sigma'_{i \in c} \sim N(0,1)$$
 (3)

式(3)中, $\mu'_i$ 、 $\sigma'_i$ 分别为经过重参数化的均值与方差; $\in$ 为辅助噪声变量。在经过相应的转换后,z便可进行微分。

此时,多个高斯混合分布  $p_z^i$  可表示为式 (4)。

$$p_z^i = \sum_{i=1}^N \frac{g(\mu_i + \sigma_i \in \mid \mu_j^i)}{N}$$
 (4)

对于改进生成对抗网络模型(DMGAN),其生成器与鉴别器包含多个模式,通过将高斯混合模型与此种模式进行结合后,可在一定程度上提升数据的多样性与有效性,避免出现模型难以收敛的问题。

#### 1.4 变异策略

对于变异策略而言,其作用在于识别变异位置。本研究中,在现有 网络漏洞的基础上,构建相应的报文变异算子库,并基于变异策略,有 效提升模糊测试的效率。在通讯异常的情况下,漏洞库存在格式化字符 串、缓冲区溢出等问题。针对这一系列问题,首先通过分析报文长度和 字段特征的变换规律建立变异模型,其中结合协议字段的相似性匹配和 尺寸特征来设计初始变异算子。其次,根据协议特性和漏洞触发机制制 定自适应变异策略,构建已知漏洞报文特征数据库。最后,采用分区变 异机制生成测试用例。系统具备动态调节能力,可根据漏洞报文特征实 时调整变异参数,并分析异常响应。当发现异常报文多样性不足时,将 精确定位目标字段并实施变异约束,同时维持其他字段的变异强度以确 保测试覆盖率。

#### 2 实验分析

#### 2.1 实验环境搭建

为验证本文方法的测试效果,研究通过 Modbus TCP 网络协议、S7 通信过程,构建仿真测试环境。其中,模糊测试主要通过 Modbus Poll v6.0.2、Modbus Slave v6.0.2 进行,通信过程主要通过 S7-PLSCIM-Advanced V3.0 软件模拟,异常检测主要采用 wireshark 工具完成。在实验过程中,以工控数据作为原始数据进行训练,其中包括完整流量包、恶意流量标签,而 S7 协议数据集通过模拟环境捕获的数据进行训练。

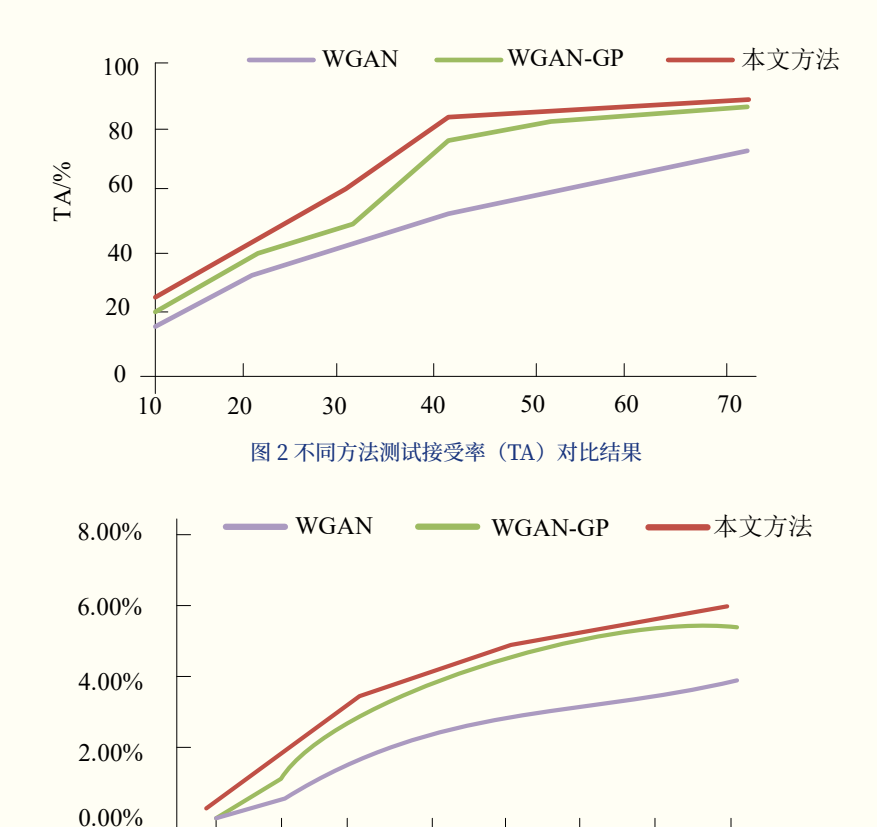
### 2.2 评估方法

将本文方法与基于 WGAN 模型与 WGAN GP 模型进行对比,选取接受率、漏洞检测率、生成数据多样性作为评价指标,对不同方法的有效性进行评估。

# 2.3 实验结果分析

# 2.3.1 不同方法接受率(TA)对比分析

在训练周期内,不同方法测试接受率(TA)对比结果如图2所示。 从图2可看出,在训练时间不断增加的情况下,三种方法的TA均 呈现逐渐升高的趋势,说明不同方法生成的数据具有一定的准确性。但 是,本文方法的TA始终保持在最大数值,在稳定阶段可达90.01%,说



明本文方法格式精度相对较高。此外,本研究虽然对模型进行了调整,但部分数据格式依然存在相应的问题。总之,在迭代次数不断增加的情况下,各方法的 TA 从最开始的持续增加,逐渐趋近于稳定。

30

图 3 不同方法漏洞检测能力(AD)对比结果

40

50

60

70

# 2.3.2 不同方法漏洞检测能力(AD)分析

10

20

在训练周期内,不同方法漏洞检测能力(AD)对比结果如图 3 所示。 从图 3 中可以明确看出,在训练时间不断增加的情况下,三种方法 的 AD 均呈现出一种逐渐升高的趋势,且异常通信数量也逐渐增多,并 逐渐趋近于稳定。相较之下,本文方法漏洞检测率较高,其根本原因是 测试目标的不同,本文方法的测试对象主要为 ModBus Slave,使本文方法 发现错误的能力高于另外两种方法,说明本文方法具有一定的有效性。

# 2.3.3 不同方法用例生成时间对比分析

在用例生成数量相同的情况下,本文方法所需的时间最短。此外,在通信测试过程中,出现了部分异常情况,异常结果中存在的错误表述如下。在 Modbus\_Rssim 受到测试用例的攻击时,则会发生软件崩溃。在数据帧条数为 1400 条的情况下,自动弹出崩溃提醒。通过对数据帧格式进行二次测试且发送至 Modbus\_Slave 后发现,无异常情况产生,提示 Modbus\_Rssim 存在问题。在对其中的漏洞进行进一步挖掘后发现,Modbus\_Rssim 提示存在异常信息,且显示"无响应发送",究其原因主要是内存溢出导致的软件崩溃,说明在仿真过程中忽略了数据边界填充的问题。通过进一步测试得知,其中还存在数据长短不匹配、地址异常等问题。综合分析来看,本文方法具有较高的检测精度,且具有一定的可行性。

# 结语

本研究针对传统的网络漏 洞检测技术存在的不足, 提出一 种基于生成对抗网络的网络安全 漏洞检测方法,并结合变异策略 对其应用进行验证。研究结果显 示,本方法可在无人工分析的条 件下, 实现网络漏洞数据的智能 分析,进一步提升了网络协议中 的漏洞检测效率,对于提升网络 安全有着十分重要的作用。但 是,本文方法还存在相应的不 足,如训练时间长、变异策略无 法进行动态调整等。在后续的研 究中,还需深入研究漏洞规则, 进而提升网络安全漏洞挖掘的智 能化水平。

#### 引用

- [1] 靳文京,卜哲,秦博阳.基于序列生成对抗网络的智能模糊测试方法[J].信息安全研究,2024,10(6):490-497. [2] 金磊.面向网络空间防御的越权漏洞对抗机器学习检测系统[J].微型电脑应用,2025,41(2):292-296.
- [3] 王梦雨,朱树永,张玉军.一种基于 行为特征的网络靶场大规模攻击流 量生成方法[J].高技术通讯,2024,34 (11):1153-1163.

